

数字信号处理

2017年秋冬学期

第九讲

2017年12月4日

5.3 窗函数法

5.3 窗函数法——设计思路

目的：

理想数字滤波器

$$H_d(e^{j\omega}) = \sum_{n=-\infty}^{\infty} h_d(n)e^{-jn\omega} \Rightarrow h_d(n) \text{ 无限长, 且非因果}$$

设计的 FIR 数字滤波器

$$H(e^{j\omega}) = \sum_{n=0}^{N-1} h(n)e^{-jn\omega} \Rightarrow h(n) \text{ 有限长, 且因果 (物理可实现)}$$

$$\Rightarrow h_d(n) \xrightarrow[\text{截短}]{\text{窗函数}} h(n)$$

要求： 线性相位

尽可能降低逼近误差

数字信号处理—FIR数字滤波器设计和实现

5.3 窗函数法——设计思路

- 设所求 DF 的频率响应是 $H_d(e^{j\omega})$ ，可能是低通、高通、带通和带阻 FIR DF。
- 不管是何种 FIR DF，具有傅立叶变换关系：

$$H_d(e^{j\omega}) = \sum_{n=-\infty}^{\infty} h_d(n)e^{-jn\omega}$$

其中

$$h_d(n) = \frac{1}{2\pi} \int_{-\pi}^{\pi} H_d(e^{j\omega}) e^{jn\omega} d\omega$$

数字信号处理—FIR数字滤波器设计和实现

5.3 窗函数法——设计思路

因此，所求的 DF 系统函数为：

$$H_d(z) = \sum_{n=-\infty}^{\infty} h_d(n)z^{-n}$$

- 显然, $H_d(z)$ 是非因果的, 且 $h_d(n)$ 的持续时间为 $-\infty \sim +\infty$, 物理上不可实现。

采用逼近 $H_d(e^{j\omega})$ 的方法

- ① 首先把 $h_d(n)$ 截为长度为 N (有限项) 的有限长序列:

$$H_d(z) = \sum_{n=-\infty}^{\infty} h_d(n)z^{-n} \quad \Rightarrow \quad H_1(z) = \sum_{n=-\frac{N-1}{2}}^{\frac{N-1}{2}} h_d(n)z^{-n}$$

数字信号处理—FIR数字滤波器设计和实现

5.3 窗函数法——设计思路

- ② 然后把截短后的 $h_d(n)$ 右移，使之变成因果性的序列。

$$H(z) = z^{-\frac{N-1}{2}} H_1(z) = \sum_{n=-\frac{N-1}{2}}^{\frac{N-1}{2}} h_d(n) z^{-(n+\frac{N-1}{2})} = \sum_{n=0}^{N-1} h_d(n - \frac{N-1}{2}) z^{-n}$$

- ③ 令 $h(n) = h_d(n - \frac{N-1}{2})$, $n = 0, 1, 2, \dots, N-1$, 则

$$H(z) = \sum_{n=0}^{N-1} h(n)z^{-n}$$

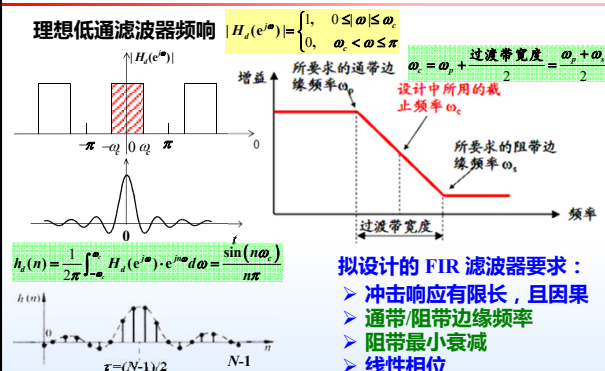
频率响应 $z=e^{j\omega}$

$$H(e^{j\omega}) = \sum_{n=0}^{N-1} h(n)e^{-jn\omega}$$

- ✓ $H(z)$ **物理可实现**
- ✓ 其冲激响应 $h(n)$ 的**持续时间也是有限的**
- ✓ 选择 $h_d(n) = \pm h_d(N-1-n)$, 保证 $H(z)$ **具有线性相位**。

数字信号处理—FIR数字滤波器设计和实现

5.3 窗函数法——设计思路

理想低通滤波器频响 $|H_d(e^{j\omega})| = \begin{cases} 1, & 0 \leq \omega \leq \omega_c \\ 0, & \text{其他} \end{cases}$ 

拟设计的 FIR 滤波器要求：

- 冲击响应有限长，且因果
- 通带/阻带边缘频率
- 阻带最小衰减
- 线性相位

数字信号处理—FIR数字滤波器设计和实现

5.3 窗函数法 ——窗函数法性能分析

■ $h_d(n)$ 截短

$$h(n) = \begin{cases} h_d(n), & |n| \leq \frac{N-1}{2} \\ 0, & \text{else} \end{cases}$$

相当于将 $h_d(n)$ 与一窗函数 $w_R(n)$ 相乘, 即

$$h(n) = h_d(n)w_R(n)$$

其中

$$w_R(n) = \begin{cases} 1, & |n| \leq \frac{N-1}{2} \\ 0, & \text{else} \end{cases}$$

窗函数决定了我们能够“看到”冲激响应序列的数量——“窗”的含义。

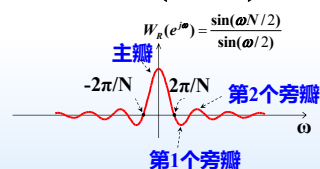
数字信号处理—FIR数字滤波器设计和实现

5.3 窗函数法 ——窗函数法性能分析

■ 窗函数的频谱

$$W_R(e^{j\omega}) = \sum_{n=-\infty}^{\infty} w_R(n)e^{-j\omega n} = \sum_{n=-\frac{N-1}{2}}^{\frac{N-1}{2}} e^{-j\omega n} = \frac{e^{-j\frac{(N-1)\omega}{2}} - e^{-j\frac{(N+1)\omega}{2}}}{1 - e^{-j\omega}}$$

$$= \frac{e^{-j\frac{\omega}{2}} \left(e^{j\frac{N\omega}{2}} - e^{-j\frac{N\omega}{2}} \right)}{e^{-j\frac{\omega}{2}} \left(e^{j\frac{\omega}{2}} - e^{-j\frac{\omega}{2}} \right)} = \frac{\sin \frac{N\omega}{2}}{\sin \frac{\omega}{2}}$$

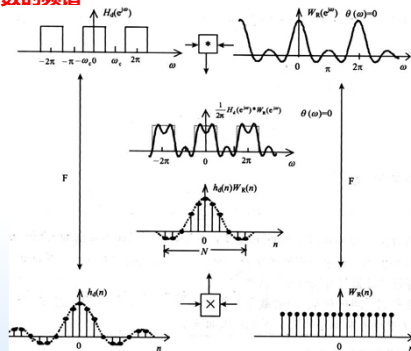


矩形窗谱为一钟形偶函数, 在 $\omega = \pm 2\pi/N$ 之间为其主瓣, 主瓣宽度 $\Delta\omega = 4\pi/N$, 在主瓣两侧有幅度逐渐减小的旁瓣, 主瓣以 2π 为周期。

数字信号处理—FIR数字滤波器设计和实现

5.3 窗函数法 ——窗函数法性能分析

■ 窗函数的频谱



数字信号处理

图 5.11 矩形窗对 $H_d(e^{j\omega})$ 的影响

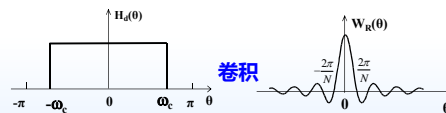
5.3 窗函数法 ——窗函数法性能分析

■ 截短, 根据时域相乘映射为频域卷积, 得:

$$H(e^{j\omega}) = \frac{1}{2\pi} [H_d(e^{j\omega}) * W_R(e^{j\omega})]$$

$$= \frac{1}{2\pi} \int_{-\pi}^{\pi} H_d(e^{j\theta}) W_R(e^{j(\omega-\theta)}) d\theta = \frac{1}{2\pi} \int_{-\omega_c}^{\omega_c} W_R(e^{j(\omega-\theta)}) d\theta$$

以截止频率为 ω_c 的理想低通滤波器 $H_d(e^{j\omega})$ 的逼近为例分析。



数字信号处理—FIR数字滤波器设计和实现

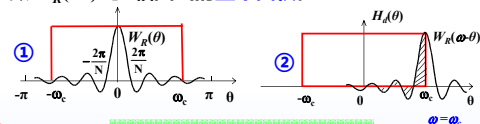
5.3 窗函数法 ——窗函数法性能分析

■ 分析几个特殊频率点的滤波器性能

① $\omega = 0$

$$H(e^{j0}) = \frac{1}{2\pi} \int_{-\omega_c}^{\omega_c} W_R(\theta) d\theta = H(\omega = 0) \approx 1$$

一般情况下满足 $\omega_c \gg 2\pi/N$, $H(0)$ 的值近似等于窗谱函数 $W_R(e^{j\omega})$ 与 θ 轴围出的整个面积。



② $\omega = \omega_c$

$$H(e^{j\omega_c}) = \frac{1}{2\pi} \int_{-\omega_c}^{\omega_c} W_R(\omega_c - \theta) d\theta \approx \frac{H(e^{j0})}{2}$$

窗谱主瓣一半在积分区间内一半在区间外, 面积近似为 $\omega = 0$ 时所围面积的一半, 即 $H(\omega_c) \approx \frac{1}{2} H(0)$ 。

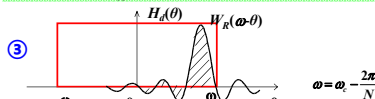
数字信号处理—FIR数字滤波器设计和实现

5.3 窗函数法 ——窗函数法性能分析

■ 分析几个特殊频率点的滤波器性能

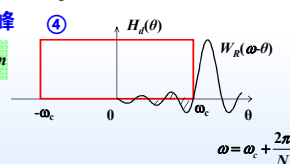
③ $\omega = \omega_c - 2\pi/N$ 时, 正肩峰

$$H_1(\omega_c - \frac{2\pi}{N}) = \frac{1}{2\pi} \int_{-\omega_c}^{\omega_c} W_R(\omega_c - \frac{2\pi}{N} - \theta) d\theta = 1.0895 H_1(0) = Max$$



④ $\omega = \omega_c + 2\pi/N$ 时, 负肩峰

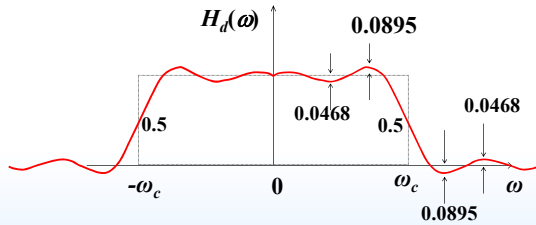
$$H_1(\omega_c + \frac{2\pi}{N}) = -0.0895 H_1(0) = Min$$



数字信号处理—FIR数字滤波器设计和实现

5.3 窗函数法 ——窗函数法性能分析

■ 分析几个特殊频率点的滤波器性能



数字信号处理—FIR数字滤波器设计和实现

5.3 窗函数法 ——窗函数法性能分析

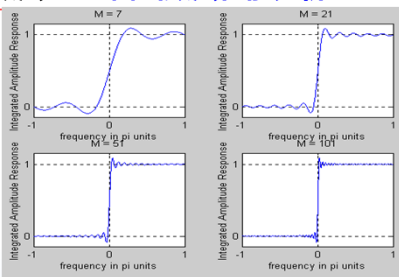
■ 加窗处理对理想矩形频响的影响

- ① 理想滤波器的不连续点演化为过渡带
过渡带：正负肩峰之间的频带，宽度为 $4\pi/N$ 。
- ② 通带与阻带内出现起伏波动
肩峰及波动：由窗函数的旁瓣引起的。
旁瓣越多，波动越快、越多。主旁瓣相对值越大，肩峰越强。
- ③ Gibbs 现象
 - 窗函数频谱的旁瓣在与 $H_d(e^{j\omega})$ 卷积时产生了通带内与阻带内的波动，称为吉布斯现象。
 - N 的变化只能改变 ω 坐标的比例，但不能改变肩峰和波动的相对大小（不能改变窗函数主瓣和旁瓣的相对比例，波动是由旁瓣引起的），即增加 N ，只能使通、阻带内振荡加快，过渡带减小，但相对振荡幅度却不减小。

数字信号处理—FIR数字滤波器设计和实现

5.3 窗函数法 ——窗函数法性能分析

Gibbs现象



结论（设计依据）：

- ① 选择窗：滤波器阻带最小衰减（与旁瓣的相对幅度有关）由窗函数决定，与窗函数的长度 N 无关。
- ② 计算 N ：过渡带宽度与窗的宽度 N 有关。

数字信号处理—FIR数字滤波器设计和实现

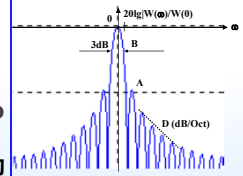
5.3 窗函数法 ——常用窗函数

窗函数不仅影响过渡带宽度，还影响肩峰和波动的大小（阻带的衰减），因此选择窗函数应使其频谱：

- ① 主瓣宽度尽量小，以使过渡带尽量陡。
 - ② 旁瓣相对于主瓣越小越好，可使肩峰和波动减小。
- 两个要求相互矛盾，根据需要进行折衷选择。

窗函数性能的三个频域指标：

- ① 3dB带宽 B （频率分辨率）
 - ② 最大旁瓣峰值 A (dB)， A 越小，由旁瓣引起的谱失真越小
 - ③ 旁瓣谱峰渐进衰减速度 D （dB/oct）
- 一个好的窗函数，应该有最小的 B 、 A 及最大的 D 。



数字信号处理—FIR数字滤波器设计和实现

5.3 窗函数法 ——矩形窗

• 以下介绍的窗函数

- 均为偶对称函数，都具有线性相位特性。
- 设窗的宽度为 N ，窗函数的对称中心点在 $(N-1)/2$ 处。因此，均为因果函数。

• 矩形窗

- 最简单的窗函数，从阻带衰减角度看，性能最差。

$$w(n) = \begin{cases} 1, & 0 \leq n \leq N-1 \\ 0, & \text{else} \end{cases}$$

- 频谱函数：

$$W_R(e^{j\omega}) = e^{-j\frac{N-1}{2}\omega} \frac{\sin(\frac{N\omega}{2})}{\sin(\frac{\omega}{2})} \quad \text{幅度函数} \quad W_R(\omega) = \frac{\sin(\frac{N\omega}{2})}{\sin(\frac{\omega}{2})}$$

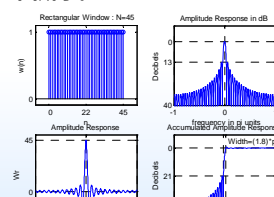
数字信号处理—FIR数字滤波器设计和实现

5.3 窗函数法 ——矩形窗

□ 窗振响应进行连续积分（或累积振响应）

$$C(\omega) = \frac{1}{2\pi} \int_{-\pi}^{\pi} W_R(\lambda) d\lambda = \frac{1}{2\pi} \int_{-\pi}^{\pi} \frac{\sin(\frac{N\lambda}{2})}{\sin(\frac{\lambda}{2})} d\lambda, \quad N \gg 1$$

□ 矩形窗函数 $w(n)$ 以及它的幅度响应、累积幅度响应如下图所示。



性能指标

- 3dB 带宽
 $B = 0.89\Delta\omega$ ($\Delta\omega = 2\pi/N$)
- 最大旁瓣峰值
 $A = -13\text{dB}$

在 Matlab 中，实现矩形窗的函数为 $w = \text{boxcar}(n)$ 。

数字信号处理—FIR数字滤波器设计和实现

5.3 窗函数法 —— 矩形窗

幅度响应

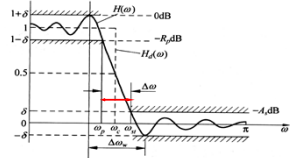
- 第一个零点: $\Delta\omega = 2\pi/N$
- 因而主瓣的宽度为 $2\Delta\omega$, 过渡带宽近似为 $2\Delta\omega$ 。
- $\omega \approx 3\pi/N$ 处, 出现第一个旁瓣 (主旁瓣), 峰值 A(dB) 为 $A = -13\text{dB}$ 。

累积幅度响应

- 第一旁瓣为 21dB (阻带衰减), 与窗长度 N 无关。
- 根据最小阻带衰减, 可以精确地计算出过渡带宽:

$$\omega_s - \omega_p = \frac{1.8\pi}{N}$$

约为近似带宽的一半。



数字信号处理—FIR数字滤波器设计

5.3 窗函数法 —— 三角窗 (Bartlett 窗)

由于矩形窗从 0 到 1 (或 1 到 0) 有一个突变的过渡带, 这造成了吉布斯现象。

Bartlett 提出了一种逐渐过渡的三角窗形式, 它是两个矩形窗的卷积。

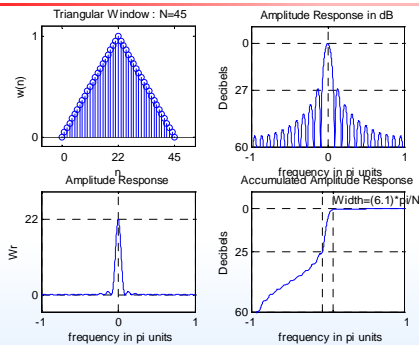
$$w(n) = \begin{cases} \frac{2n}{N-1}, & n=0, 1, \dots, \frac{N-1}{2} \\ 2 - \frac{2n}{N-1}, & n = \frac{N-1}{2}, \dots, N-1 \end{cases} \quad W(e^{j\omega}) \approx \frac{2}{N} e^{-j\frac{N-1}{2}\omega} \left(\frac{\sin\left(\frac{N\omega}{4}\right)}{\sin\left(\frac{\omega}{2}\right)} \right)^2$$

近似过渡带宽 $8\pi/N$, 精确过渡带宽 $6.1\pi/N$, 最小阻带衰减 25dB。

与矩形窗来比较, 阻带衰减性能有所改善, 但代价是过渡带的加宽。

数字信号处理—FIR数字滤波器设计和实现

5.3 窗函数法 —— 三角窗 (Bartlett 窗)



Matlab 函数 bartlett(n) 和 triang(n)

数字信号处理—FIR数字滤波器设计和实现

5.3 窗函数法 —— 升余弦窗

- 汉宁窗、汉明窗、布莱克曼窗都是升余弦窗的特例。它们都是频率为 0、 $2\pi/(N-1)$ 和 $4\pi/(N-1)$ 的余弦序列的组合。

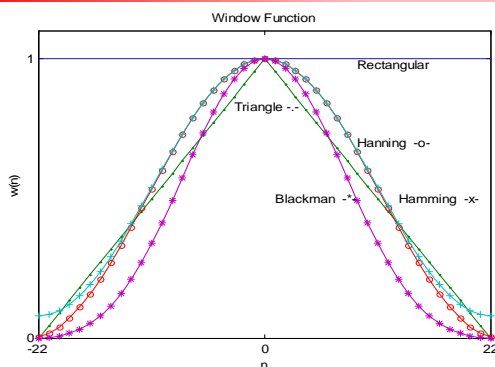
$$w(n) = A - B \cos\left(\frac{2\pi}{N-1}n\right) + C \cos\left(\frac{4\pi}{N-1}n\right)$$

- 其中 A、B、C 为常数。

- ① 当 $A = 0.5, B = 0.5, C = 0$, 为汉宁 (Hanning) 窗。
Matlab 中, $w = \text{hanning}(n)$
- ② 当 $A = 0.54, B = 0.46, C = 0$, 为汉明 (Hamming) 窗。
Matlab 中, $w = \text{hamming}(n)$
- ③ 当 $A = 0.42, B = 0.5, C = 0.08$, 为布莱克曼窗。
Matlab 中, $w = \text{blackman}(n)$

数字信号处理—FIR数字滤波器设计和实现

5.3 窗函数法 —— 升余弦窗

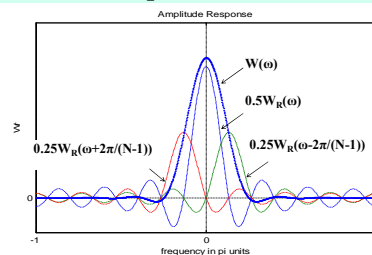


数字信号处理—FIR数字滤波器设计和实现

5.3 窗函数法 —— 升余弦窗 (汉宁窗)

$$w(n) = \sin^2\left(\frac{n\pi}{N-1}\right) = 0.5 - 0.5 \cos\left(\frac{2n\pi}{N-1}\right) \quad n = 0, 1, 2, \dots, N-1$$

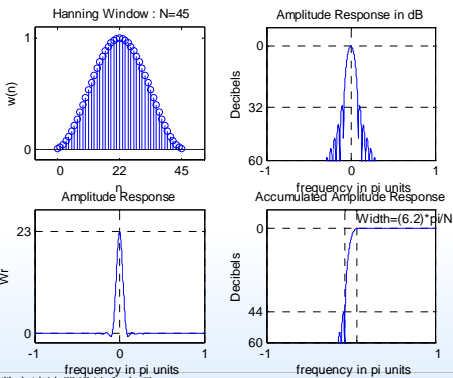
$$W(\omega) \approx 0.5W_R(\omega) + 0.25 \left[W_R\left(\omega - \frac{2\pi}{N}\right) + W_R\left(\omega + \frac{2\pi}{N}\right) \right]$$



数字信号处理—FIR数字滤波器设计和实现

5.3 窗函数法 —— 升余弦窗（汉宁窗）

近似过渡带宽 $8\pi/N$ ，精确过渡带宽 $6.2\pi/N$ ，最小阻带衰减 44dB 。与矩形窗比，最小阻带衰减性能明显提高，但过渡带也明显增大。



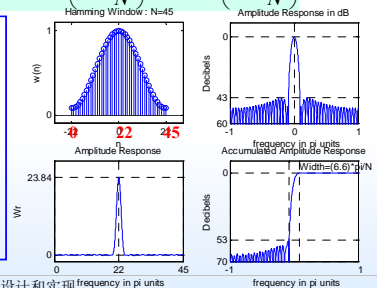
数字信号处理—FIR数字滤波器设计和实现

5.3 窗函数法 —— 升余弦窗（汉明窗）

$$w(n) = 0.54 - 0.46 \cos\left(\frac{2n\pi}{N-1}\right) \quad n = 0, 1, 2, \dots, N-1$$

$$W(\omega) \approx 0.54W_R(\omega) + 0.23W_R\left(\omega - \frac{2\pi}{N}\right) + 0.23W_R\left(\omega + \frac{2\pi}{N}\right)$$

近似过渡带宽 $8\pi/N$ ，精确过渡带宽 $6.6\pi/N$ ，最小阻带衰减 53dB 。通过这一系数调整，使能量的 99.963% 都集中在主瓣内。



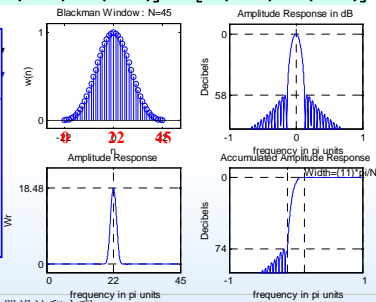
数字信号处理—FIR数字滤波器设计和实现

5.3 窗函数法 —— 升余弦窗（布莱克曼窗）

$$w(n) = 0.42 - 0.5 \cos\left(\frac{2n\pi}{N-1}\right) + 0.08 \cos\left(\frac{4n\pi}{N-1}\right) \quad n = 0, 1, 2, \dots, N-1$$

$$W(\omega) \approx 0.42W_R(\omega) + 0.25\left[W_R\left(\omega - \frac{2\pi}{N}\right) + W_R\left(\omega + \frac{2\pi}{N}\right)\right] + 0.04\left[W_R\left(\omega - \frac{4\pi}{N}\right) + W_R\left(\omega + \frac{4\pi}{N}\right)\right]$$

近似过渡带宽 $12\pi/N$ ，精确过渡带宽 $11\pi/N$ ，最小阻带衰减 74dB 。通过增加余弦的二次谐波分量，能够进一步抑制旁瓣，但主瓣宽度比矩形窗谱的主瓣宽度大三倍。



数字信号处理—FIR数字滤波器设计和实现

5.3 窗函数法 —— 凯塞尔（Kaiser）窗

- 前几种窗函数以牺牲主瓣宽度，换取旁瓣抑制；
- Kaiser 窗可反映主瓣和旁瓣衰减之间的互换关系；
 - 定义一组可调的由零阶 Bessel 函数构成的窗函数；
 - 通过调整参数 β 可以在主瓣宽度和旁瓣衰减之间自由选择它们的比重。实现以同一种窗类型来满足不同窗性能需求的目的。
- Kaiser 窗函数由 J.F. Kaiser 提出，由下式给出：

$$w(n) = \frac{I_0\left(\beta \sqrt{1 - \left(\frac{2n}{N-1}\right)^2}\right)}{I_0(\beta)}, \quad 0 \leq n \leq N-1$$

- 其中 I_0 是第一类变形零阶 Bessel 函数
- β 是用来调整窗形状的参数。

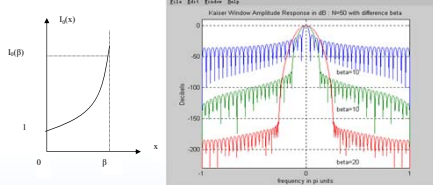
数字信号处理—FIR数字滤波器设计和实现

5.3 窗函数法 —— 凯塞尔（Kaiser）窗

对于相同的 N ，Kaiser 窗可以提供不同的过渡带宽，这是其他窗函数做不到的。通过调整参数 β ，就可以方便地完成对过渡带宽度和阻带衰减的调整。



弗里德里希·威廉·贝塞尔
(Friedrich Wilhelm Bessel)
1784年—1846年
德国天文学家及数学家



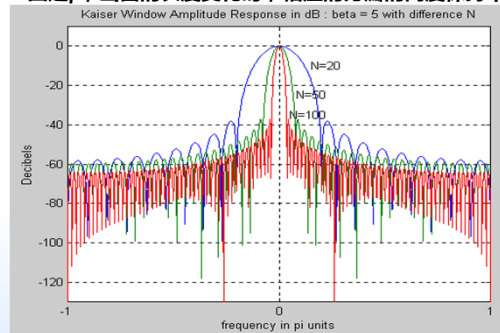
零阶贝塞尔函数 Kaiser 窗函数依参数 β 而变化

Matlab 中，函数 $w = \text{kaiser}(n, \beta)$ 实现 Kaiser 窗

数字信号处理—FIR数字滤波器设计和实现

5.3 窗函数法 —— 凯塞尔（Kaiser）窗

固定 β ，当窗的长度变化时，相应的旁瓣的高度保持不变。



数字信号处理—FIR数字滤波器设计和实现

5.3 窗函数法 —— 凯塞尔 (Kaiser) 窗

凯塞尔窗的计算

- 由于 Bessel 函数的复杂性, 很难推导, Kaiser 提出了经验公式。
- 给定 ω_p 、 ω_s 、 R_p 和 A_s , 参数 β 定义如下:

$$\beta = \begin{cases} 0.1102(A_s - 8.7), & A_s > 50 \\ 0.5842(A_s - 21)^{0.4} + 0.07886(A_s - 21), & 21 \leq A_s \leq 50 \\ 0, & A_s < 21 \end{cases}$$

- 对于过渡带宽 $\Delta\omega = \omega_s - \omega_p$ (rad/s), 滤波器阶数为

$$N = \frac{A_s - 7.95}{2.285\Delta\omega} + 1 \quad \text{或} \quad N = \frac{A_s - 7.95}{14.36\Delta f} + 1$$

数字信号处理—FIR数字滤波器设计和实现

5.3 窗函数法

常用窗函数的性能指标

窗函数	旁瓣峰值衰减 (dB)	窗函数主瓣宽度	加窗后滤波器过渡带宽 ($\Delta\omega$)	加窗后滤波器阻带最小衰减 (dB)
矩形窗	-13	$4\pi/N$	$1.8\pi/N$	-21
汉宁窗 (升余弦窗)	-31	$8\pi/N$	$6.2\pi/N$	-44
汉明窗 (改进升余弦窗)	-41	$8\pi/N$	$6.6\pi/N$	-53
布莱克曼窗 (二阶升余弦窗)	-57	$12\pi/N$	$11\pi/N$	-74
凯塞尔窗 ($\beta=7.865$)	-57	$10\pi/N$	$10\pi/N$	-80

数字信号处理—FIR数字滤波器设计和实现

5.3 窗函数法 —— 窗函数法的具体实现

窗函数法设计 FIR DF 关键:

- 窗函数的选择: 阻带衰减指标

- 窗函数长度 N 的选择: 过渡带宽指标

因为 FIR DF 的过渡带等于窗函数的主瓣宽度/精确过渡带, 通过查表计算 N (上取整):

$$\Delta\omega(N) = \omega_s - \omega_p$$

- 根据所要设计滤波器类型决定 N 取奇数或偶数。
- 一般选择 N 为奇数 (Type I)。

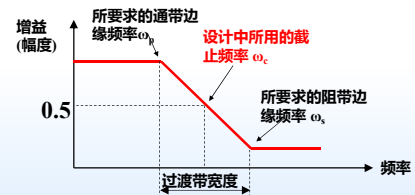
数字信号处理—FIR数字滤波器设计和实现

5.3 窗函数法 —— 窗函数法的具体实现

截止频率 ω_c 的确定

- 截止频率 ω_c 对应于 0.5 增益点。
- 对于非理想滤波器, 其截止频率 ω_c 采用过渡带的中点。因此, 窗函数法不能精确确定其通带和阻带的边缘频率:

$$\omega_c = \omega_p + \frac{\text{过渡带宽度}}{2} = \omega_p + \frac{\omega_s - \omega_p}{2} = \frac{\omega_p + \omega_s}{2}$$



数字信号处理—FIR数字滤波器设计和实现

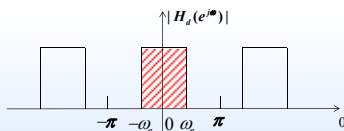
5.3 窗函数法 —— 窗函数法的具体实现

数字低通滤波器的设计

例5.1 一个理想低通数字滤波器的频率响应如图所示, 为:

$$|H_d(e^{j\omega})| = \begin{cases} 1, & 0 \leq \omega \leq \omega_c \\ 0, & \omega_c < \omega \leq \pi \end{cases}$$

若 $\omega_c = 0.25\pi$, 分别取 $N=11, 21, 31$ 的线性相位 FIR, 观察加窗后对滤波器幅频特性的影响。



数字信号处理—FIR数字滤波器设计和实现

5.3 窗函数法 —— 窗函数法的具体实现

数字低通滤波器的设计

根据傅里叶变换, 冲击响应为

$$\begin{aligned} h_d(n) &= \frac{1}{2\pi} \int_{-\omega_c}^{\omega_c} H_d(e^{j\omega}) \cdot e^{jn\omega} d\omega = \frac{1}{2\pi} \int_{-\omega_c}^{\omega_c} 1 \cdot e^{jn\omega} d\omega \\ &= \frac{1}{jn2\pi} (e^{jn\omega_c} - e^{-jn\omega_c}) = \frac{\sin(n\omega_c)}{n\pi} \end{aligned}$$

将 $h_d(n)$ 移位 τ , 得:

$$h(n) = h_d(n - \tau) = \frac{\sin(n - \tau)\omega_c}{(n - \tau)\pi}$$

数字信号处理—FIR数字滤波器设计和实现

5.3 窗函数法 ——窗函数法的具体实现

■ 数字低通滤波器的设计

然后乘以窗函数 $w(n)$ 进行截短, 得到 $h(n)$ 。

对于 $\omega_c = 0.25\pi$:

$$h(n) = h_d(n-\tau) = \frac{\sin[(n-\tau) \times 0.25\pi]}{(n-\tau)\pi} w(n)$$

当 $N=11$ 时, $\tau=5$, 乘以矩形窗 :

$$h(0) = h(10) = -0.045, h(1) = h(9) = 0, h(2) = h(8) = 0.075, \\ h(3) = h(7) = 0.1592, h(4) = h(6) = 0.2251, h(5) = 0.25。$$

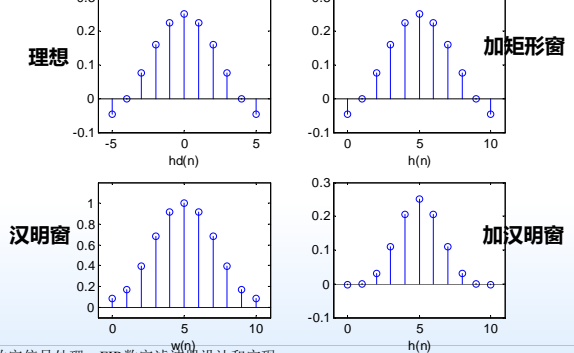
当 $N=11$ 时, 乘以汉明窗 :

$$w(n) = 0.54 - 0.46 \cos\left(\frac{2n\pi}{N-1}\right) \quad n = 0, 1, 2, \dots, N-1$$

数字信号处理—FIR数字滤波器设计和实现

5.3 窗函数法 ——窗函数法的具体实现

■ 数字低通滤波器的设计



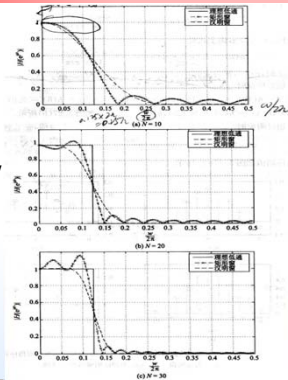
数字信号处理—FIR数字滤波器设计和实现

5.3 窗函数法 ——窗函数法的具体实现

■ 数字低通滤波器的设计

- ✓ 当 N 取不同值时, $H(e^{j\omega})$ 都不同程度上近似于 $H_d(e^{j\omega})$ 。 N 过小时, 过渡带较宽, 波动较少; 当 N 增加时, 通带接近于 0.25π , 过渡带变窄, 波纹增加。

- ✓ 使用汉明窗后, 通带内的振荡基本消失, 阻带内的纹波也大大减小, 但是, 这是以过渡带的加宽为代价的。



数字信号处理—FIR数字滤波器设计和实现

图 5.28 $N=10, 20, 30$ 时滤波器的幅频特性

5.3 窗函数法 ——窗函数法的具体实现

■ 数字低通滤波器的设计

例5.2 根据下列指标设计一个线性相位FIR低通滤波器

通带边缘频率 $f_p = 2$ kHz

阻带边缘频率 $f_{stop} = 3$ kHz

阻带衰减 40 dB

取样频率 $f_s = 10$ kHz

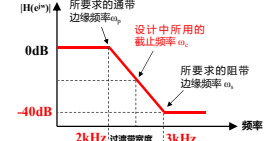
(1) 求对应的数字频率 :

过渡带宽 $= 3 \text{ kHz} - 2 \text{ kHz} = 1 \text{ kHz}$ 。

转换为数字频率过渡带: $\Delta\omega = 2\pi \frac{\Delta f}{f_s} = \frac{2\pi \times 1}{10} = 0.2\pi$

截止频率: $f_c = \frac{f_p + f_{stop}}{2} = 2.5 \text{ kHz}$

数字截止频率: $\omega_c = 2\pi \frac{f_c}{f_s} = 0.5\pi$



数字信号处理—FIR数字滤波器设计和实现

5.3 窗函数法 ——窗函数法的具体实现

■ 数字低通滤波器的设计

(2) 设理想线性相位滤波器为: $H_d(e^{j\omega}) = \begin{cases} e^{j\omega\tau}, & |\omega| \leq \omega_c \\ 0, & \text{其它} \end{cases}$

由此可得脉冲响应:

$$h_d(n) = \frac{1}{2\pi} \int_{-\pi}^{\pi} e^{j\omega\tau} e^{j\omega n} d\omega = \frac{\sin[(n-\tau)\omega_c]}{(n-\tau)\pi} = \frac{\sin(n-\tau)0.5\pi}{(n-\tau)\pi}$$

(3) 由阻带衰减确定窗函数: 因为阻带衰减 40 dB, 查表选择 Hanning 窗

$$w(n) = 0.5 - 0.5 \cos\left(\frac{2n\pi}{N-1}\right) \quad n = 0, 1, 2, \dots, N-1$$

(4) 由过渡带宽确定窗长: $N = \frac{6.2\pi}{\Delta\omega} = \frac{6.2\pi}{0.2\pi} = 31 \quad \tau = (N-1)/2 = 15$

滤波器的脉冲响应为:

$$h(n) = \frac{\sin[(n-15) \times 0.5\pi]}{(n-15)\pi} \times w(n)$$

数字信号处理—FIR数字滤波器设计和实现

5.3 窗函数法 ——窗函数法的具体实现

■ 数字低通滤波器的设计

$$h_d(n) = \begin{matrix} -0.0212 & 0.0000 & 0.0245 & -0.0000 & -0.0289 & 0.0000 \\ 0.0354 & -0.0000 & -0.0455 & 0.0000 & 0.0637 & -0.0000 \\ -0.1061 & 0.0000 & 0.3183 & 0.5 & 0.3183 & 0.0000 \\ -0.1061 & -0.0000 & 0.0637 & 0.0000 & -0.0455 & -0.0000 \\ 0.0354 & 0.0000 & -0.0289 & -0.0000 & 0.0245 & 0.0000 \\ -0.0212 \end{matrix}$$

$$w(n) = \begin{matrix} 0 & 0.0109 & 0.0432 & 0.0955 & 0.1654 & 0.2500 \\ 0.3455 & 0.4477 & 0.5523 & 0.6545 & 0.7500 & 0.8346 \\ 0.9045 & 0.9568 & 0.9891 & 1.0000 & 0.9891 & 0.9568 \\ 0.9045 & 0.8346 & 0.7500 & 0.6545 & 0.5523 & 0.4477 \\ 0.3455 & 0.2500 & 0.1654 & 0.0955 & 0.0432 & 0.0109 \\ 0 \end{matrix}$$

数字信号处理—FIR数字滤波器设计和实现

5.3 窗函数法 ——窗函数法的具体实现

■ 数字低通滤波器的设计

$$h(n) = \begin{matrix} 0 & 0.0000 & 0.0011 & -0.0000 & -0.0048 & 0.0000 \\ 0.0122 & -0.0000 & -0.0251 & 0.0000 & 0.0477 & -0.0000 \\ -0.0960 & 0.0000 & 0.3148 & 0.5000 & 0.3148 & 0.0000 \\ -0.0960 & -0.0000 & 0.0477 & 0.0000 & -0.0251 & -0.0000 \\ 0.0122 & 0.0000 & -0.0048 & -0.0000 & 0.0011 & 0.0000 & 0 \end{matrix}$$

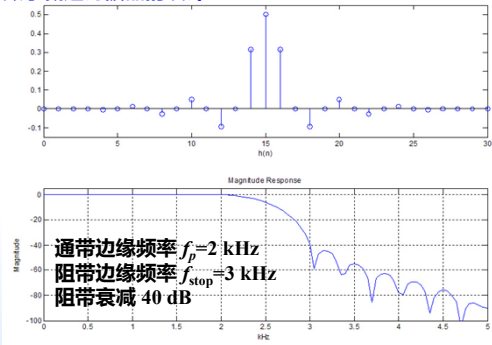
- 由 $h(n)$ 可以得到 $H(z)$ 、 $H(e^{j\omega})$ 和差分方程，其中差分方程为：

$$y(n) = 0.0011x(n-2) - 0.0048x(n-4) + 0.0122x(n-6) - 0.0251x(n-8) + 0.0477x(n-10) - 0.0960x(n-12) + 0.3148x(n-14) + 0.5x(n-15) + 0.3148x(n-16) - 0.0960x(n-18) + 0.0477x(n-20) - 0.0251x(n-22) + 0.0122x(n-24) - 0.0048x(n-26) + 0.0011x(n-28)$$

数字信号处理—FIR数字滤波器设计和实现

5.3 窗函数法 ——窗函数法的具体实现

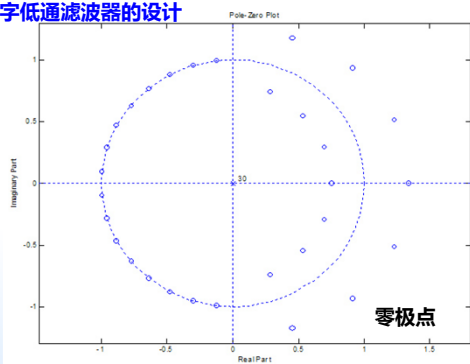
■ 数字低通滤波器的设计



数字信号处理—FIR数字滤波器设计和实现

5.3 窗函数法 ——窗函数法的具体实现

■ 数字低通滤波器的设计

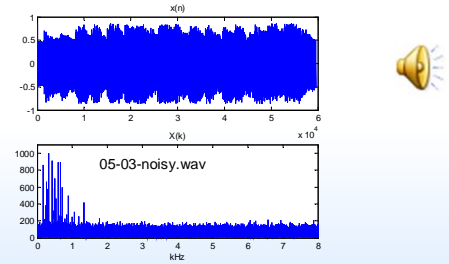


数字信号处理—FIR数字滤波器设计和实现

5.3 窗函数法 ——窗函数法的具体实现

■ 数字低通滤波器的设计

例5.3 一段乐曲中夹杂着高频噪声，严重影响收听质量。下图给出了噪声污染后的信号及其频谱。系统的采样频率为 16 kHz。设计一个滤波器来提高声音质量。



数字信号处理—FIR数字滤波器设计和实现

5.3 窗函数法 ——窗函数法的具体实现

■ 数字低通滤波器的设计

- 从频谱图可知，噪声从 2 kHz 开始占据支配地位，因这个频率很低，消除噪声的同时也会损失一部分音乐信息。
- 没有特殊的阻带衰减要求，选择 Hamming 窗。
- 对过渡带宽也没有特殊要求。为得到合理的陡峭过渡带，选择 $N = 101$ ，则过渡带宽为：

$$\frac{6.6\pi}{101} \times \frac{16000}{2\pi} = 523 \text{ Hz}$$

此低通滤波器的参数：

采样频率：16 kHz

通带边缘频率：2 kHz

过渡带宽：523 Hz

截止频率： $f_c = 2000 + 523/2 = 2.262 \text{ kHz}$

数字截止频率： $\omega_c = 2\pi \frac{f_c}{f_s} = 2\pi \frac{2.262}{16} = 0.283\pi$

数字信号处理—FIR数字滤波器设计和实现

5.3 窗函数法 ——窗函数法的具体实现

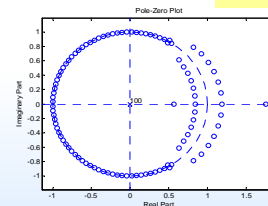
■ 数字低通滤波器的设计

Hamming 窗

$$w(n) = 0.54 - 0.46 \cos\left(\frac{2n\pi}{N-1}\right) \quad n = 0, 1, 2, 3, \dots, N-1$$

窗长： $N=101$

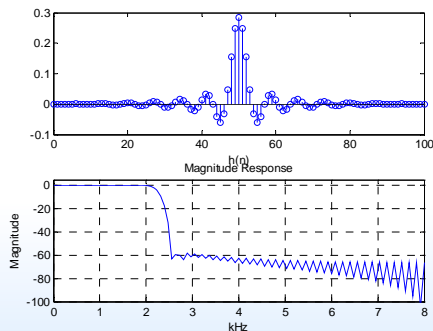
则滤波器的脉冲响应为： $h(n) = \frac{\sin[(n-50) \times 0.284\pi]}{(n-50)\pi} \times w(n)$



数字信号处理—FIR数字滤波器设计和实现

5.3 窗函数法 ——窗函数法的具体实现

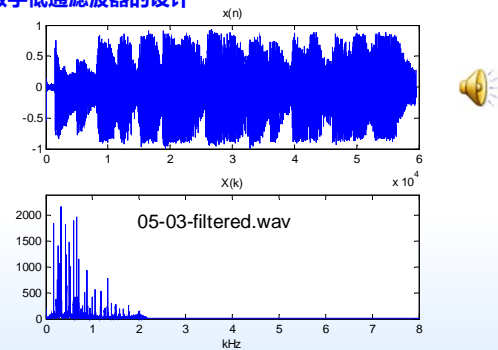
■ 数字低通滤波器的设计



数字信号处理—FIR数字滤波器设计和实现

5.3 窗函数法 ——窗函数法的具体实现

■ 数字低通滤波器的设计



数字信号处理—FIR数字滤波器设计和实现

5.3 窗函数法 ——窗函数法的具体实现

例 5.4 利用凯塞窗设计低通滤波器。设计指标要求为：通带边缘频率 $\omega_p = 0.4\pi$ ，阻带边缘频率 $\omega_s = 0.6\pi$ ，阻带衰减 $A_s = 60\text{dB}$ 。

解 首先确定基本理想低通滤波器的截止频率

$$\omega_c = \frac{\omega_p + \omega_s}{2} = 0.5\pi$$

滤波器过渡带宽为

$$\Delta\omega = \omega_s - \omega_p = 0.2\pi$$

将以上两个量分别代入式(5.61a)和式(5.61b)，则可求出凯塞窗的 β 值和 N 值

$$\beta = 0.1102(A_s - 8.7) = 5.653$$

$$N = \frac{A_s - 7.95}{2.285\Delta\omega} + 1 \approx 37$$

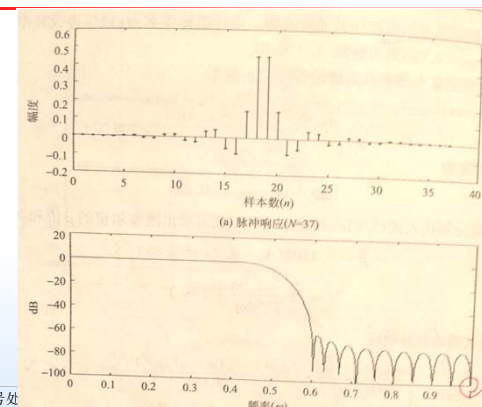
计算滤波器的脉冲响应

$$h(n) = \begin{cases} \frac{\sin(\omega_c(n-\tau))}{\pi(n-\tau)\omega_c} I_0\left[\beta\left(1 - \left|\frac{(n-\tau)\omega_c}{\omega_c}\right|^\alpha\right)^{1/\alpha}\right] & 0 \leq n \leq N \\ 0 & \text{其他} \end{cases}$$

式中， $\tau = N/2 = 37/2 = 18.5$ 。

因为 $N = 37$ 为奇数，因此所得线性相位系统为1型系统，该滤波器的响应特性示于图5.33中。图5.33(a)为滤波器的脉冲响应，它具有偶对称特性；图5.33(b)为滤波器的幅频响应，图中表明 $H(e^{j\omega})$ 在 $\omega = \pi$ 处为零，或等效的，系统函数 $H(z)$ 在 $z = -1$ 处有一个零点，正如1型FIR系统所要求的那样。

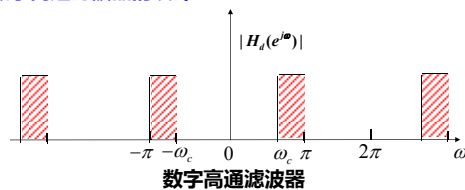
5.3 窗函数法 ——窗函数法的具体实现



数字信号处

5.3 窗函数法 ——窗函数法的具体实现

■ 数字高通滤波器的设计



时域右移 τ 后的幅频特性为：

$$H_d(e^{j\omega}) = \begin{cases} e^{-j\omega\tau} & \omega_c \leq |\omega| \leq \pi \\ 0 & 0 \leq |\omega| < \omega_c \end{cases}$$

数字信号处理—FIR数字滤波器设计和实现

5.3 窗函数法 ——窗函数法的具体实现

■ 数字高通滤波器的设计

$$\begin{aligned} h_d(n) &= \frac{1}{2\pi} \int_{-\pi}^{-\omega_c} e^{j(n-\tau)\omega} d\omega + \frac{1}{2\pi} \int_{\omega_c}^{\pi} e^{j(n-\tau)\omega} d\omega \\ &= \frac{1}{j2(n-\tau)\pi} \left[\left(e^{-j(n-\tau)\omega_c} - e^{-j(n-\tau)\pi} \right) + \left(e^{j(n-\tau)\pi} - e^{j(n-\tau)\omega_c} \right) \right] \\ &= \frac{1}{j2(n-\tau)\pi} [\cos(n-\tau)\omega_c - j\sin(n-\tau)\omega_c - \cos(n-\tau)\pi + j\sin(n-\tau)\pi \\ &\quad + \cos(n-\tau)\pi + j\sin(n-\tau)\pi + \cos(n-\tau)\omega_c - j\sin(n-\tau)\omega_c] \end{aligned}$$

得

$$\begin{aligned} h_d(n) &= \frac{\sin[(n-\tau)\pi] - \sin[(n-\tau)\omega_c]}{(n-\tau)\pi} \\ &= \frac{\sin[(n-\tau)\pi]}{(n-\tau)\pi} - \frac{\sin[(n-\tau)\omega_c]}{(n-\tau)\pi} = h_{up}(n) - h_{lp}(n) \end{aligned}$$

数字信号处理—FIR数字滤波器设计和实现

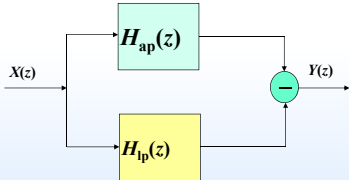
5.3 窗函数法 ——窗函数法的具体实现

■ 数字高通滤波器的设计

一个高通滤波器相当于用一个全通滤波器（即 $\omega_c = \pi$ ）减去一个低通滤波器。

传输函数： $H_{hp}(z) = H_{ap}(z) - H_{lp}(z)$

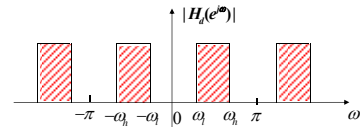
脉冲响应： $h_{hp}(n) = h_{ap}(n) - h_{lp}(n)$



数字信号处理—FIR数字滤波器设计和实现

5.3 窗函数法 ——窗函数法的具体实现

■ 数字带通滤波器的设计



幅频特性为：

$$H_d(e^{j\omega}) = \begin{cases} e^{-j\omega\tau} & \omega_l \leq \omega \leq \omega_h \\ 0 & \text{others} \end{cases}$$

则

$$h_d(n) = \frac{1}{2\pi} \int_{-\omega_h}^{-\omega_l} e^{j(n-\tau)\omega} d\omega + \frac{1}{2\pi} \int_{\omega_l}^{\omega_h} e^{j(n-\tau)\omega} d\omega$$

数字信号处理—FIR数字滤波器设计和实现

5.3 窗函数法 ——窗函数法的具体实现

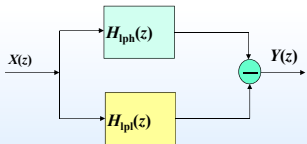
■ 数字带通滤波器的设计

求得
$$h_d(n) = \frac{\sin[(n-\tau)\omega_h] - \sin[(n-\tau)\omega_l]}{(n-\tau)\pi}$$

一个带通滤波器相当于两个低通滤波器相减，其中一个截止频率为 ω_h ，另一个为 ω_l 。

传输函数： $H_{bp}(z) = H_{lp_h}(z) - H_{lp_l}(z)$

脉冲函数： $h_{bp}(n) = h_{lp_h}(n) - h_{lp_l}(n)$



数字信号处理—FIR数字滤波器设计和实现

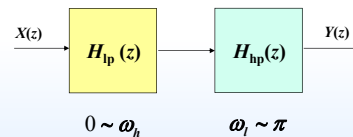
5.3 窗函数法 ——窗函数法的具体实现

■ 数字带通滤波器的设计

或者一个带通滤波器相当于一个低通滤波器和一个高通滤波器相乘，即先经过一个LPDF，再经过一个HPDF。

传输函数： $H_{bp}(z) = H_{lp}(z)H_{hp}(z)$

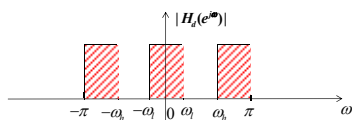
脉冲函数： $h_{bp}(n) = h_{lp}(n) * h_{hp}(n)$



数字信号处理—FIR数字滤波器设计和实现

5.3 窗函数法 ——窗函数法的具体实现

■ 数字带阻滤波器的设计



幅频特性：

$$H_d(e^{j\omega}) = \begin{cases} e^{-j\omega\tau} & \omega \leq \omega_l, \omega_h \leq \omega \leq \pi \\ 0 & \text{others} \end{cases}$$

则

$$h_d(n) = \frac{1}{2\pi} \int_{-\pi}^{-\omega_l} e^{j(n-\tau)\omega} d\omega + \frac{1}{2\pi} \int_{\omega_l}^{\omega_h} e^{j(n-\tau)\omega} d\omega + \frac{1}{2\pi} \int_{\omega_h}^{\pi} e^{j(n-\tau)\omega} d\omega$$

数字信号处理—FIR数字滤波器设计和实现

5.3 窗函数法 ——窗函数法的具体实现

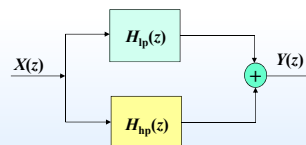
■ 数字带阻滤波器的设计

得
$$h_d(n) = \frac{\sin[(n-\tau)\omega_l] + \sin[(n-\tau)\pi] - \sin[(n-\tau)\omega_h]}{(n-\tau)\pi}$$

一个带阻滤波器相当于一个低通滤波器加上一个高通滤波器，低通滤波器的截止频率为 ω_l ，高通在 ω_h 。

传输函数： $H_{bp}(z) = H_{lp}(z) + H_{hp}(z)$

脉冲函数： $h_{bp}(n) = h_{lp}(n) + h_{hp}(n)$



数字信号处理—FIR数字滤波器设计和实现

5.3 窗函数法 ——窗函数法的具体实现

例 5.5 用凯塞尔窗设计高通滤波器,且满足技术指标:通带截止频率 $\omega_p = 0.5\pi$, 阻带截止频率 $\omega_s = 0.35\pi$, 阻带最小衰减 $A_s = 33\text{dB}$ 。

解 理想高通滤波器的截止频率为

$$\omega_c = \frac{(0.35\pi + 0.5\pi)}{2} = 0.425\pi$$

滤波器的过渡带宽为 $\omega_p - \omega_s$

$$\Delta\omega = \omega_p - \omega_s = 0.5\pi - 0.35\pi = 0.15\pi$$

则可求出对应凯塞尔窗的 β 值和 N 值

$$\beta = 0.5842(A_s - 21)^{0.4} + 0.07886(A_s - 21) = 2.6$$

$$N = \frac{A_s - 7.95}{2.286\Delta\omega} + 1 \approx 24$$

数字信号处理—FIR数字滤波器设计和实现

61

5.3 窗函数法 ——窗函数法的具体实现

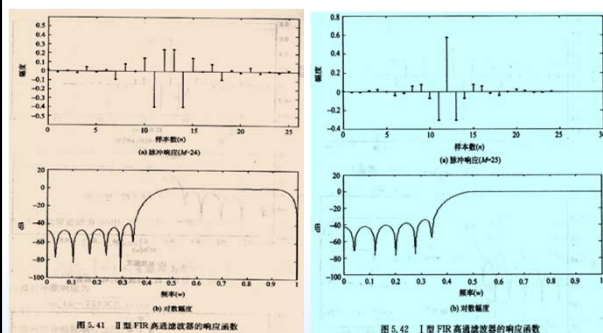


图 5.41 Ⅱ型 FIR 高通滤波器的响应函数

图 5.42 Ⅰ型 FIR 高通滤波器的响应函数

数字信号处理—FIR数字滤波器设计和实现

62

习题

第9次作业请到DSP公邮下载：
邮箱：zju_dsp@163.com

12月11日交

63